

держки возникновения проводимости за ударным фронтом нормальной детонации и периода индукции химической реакции за фронтом инициирующей ударной волны.

Поступила в редакцию
12/X 1978

ЛИТЕРАТУРА

1. J. R. Travis. Fourth Symposium (International) on Detonation, Washington, 1965, p. 609.
2. J. Morgain, H. Pujols. Fifth Symposium (International) on Detonation, California, 1970, p. 429.
3. Ю. Н. Тюняев, А. Г. Иванов, В. Н. Минеев. ФГВ, 1976, 12, 1.
4. R. F. Chaiken. J. Chem. Phys., 1960, 33, 760.
5. А. Н. Дремин, В. С. Трофимов и др. Детонационные волны в конденсированных средах. М., «Наука», 1970.
6. А. Г. Антиленко, А. Н. Дремин и др. ФГВ, 1975, 11, 3.
7. А. Н. Дремин, О. К. Розанов и др. ФГВ, 1967, 3, 1.
8. Compendium of shock wave data. Univ. Calif., 1966.
9. F. E. Allison. J. Appl. Phys., 1965, 36, 7.
10. А. Г. Антиленко, С. С. Набатов, В. В. Якушев. ФГВ, 1975, 11, 3.
11. С. С. Набатов, В. В. Якушев, А. Н. Дремин. ФГВ, 1976, 12, 2.
12. В. В. Якушев, О. К. Розанов, А. Н. Дремин. ЖЭТФ, 1968, 54, 2.
13. С. С. Набатов, В. В. Якушев, А. Н. Дремин. ФГВ, 1975, 11, 2.
14. B. Hayes. Tenth Symposium (International) on Combustion, Pittsburgh, 1965, p. 869.
15. A. N. Dremin, V. V. Yakushev. Acta Astronautica, 1974, 1.

ЭКСПЕРИМЕНТАЛЬНОЕ ИССЛЕДОВАНИЕ И РАСЧЕТ ТРОЙНЫХ КОНФИГУРАЦИЙ СПИНОВОЙ ДЕТОНАЦИИ

Ю. А. Николаев, М. Е. Топчян, В. Ю. Ульяницкий

(Новосибирск)

До настоящего времени расчеты с учетом химического равновесия для спиновой детонации в плоской модели с поперечной волной проведены только для смеси $2\text{CO} + \text{O}_2$ [1, 2]. Схема течения, соответствующая указанной модели, изображена на рис. 1. Здесь скачки AA_1 и BC детонационные, а остальные ударные. Исходные данные для расчета — экспериментально определяемые угол ϕ при скачке AA_2 и полная скорость невозмущенного потока u_{00} .

Описанная в [3] методика машинного расчета равновесных детонационных волн позволяет при некотором усложнении программы [4] сделать расчеты тройных конфигураций для любых смесей, а также проанализировать, какое влияние на результаты оказывают возможные погрешности определения исходных величин (ϕ_{AA_2} , u_{00}).

Для получения исходных данных в трубе диаметром $d=21$ мм при $T_0=293$ К измерена продольная скорость детонационной волны с помощью фоторегистратора, получены следовые отпечатки для определения полной скорости движения потока и ее направления в системе координат, связанной с «головой» спиной, получены также теплеровские

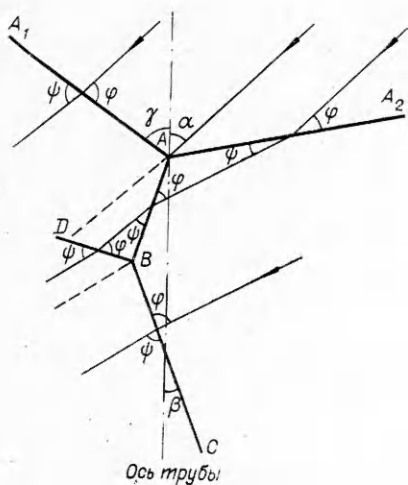


Рис. 1.

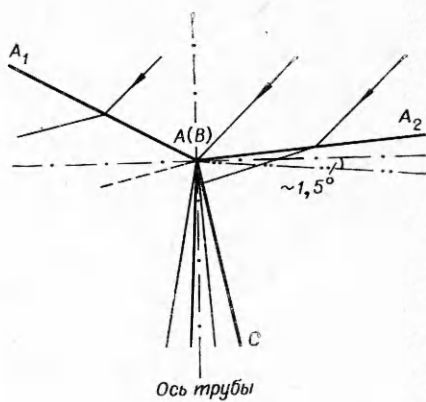


Рис. 2.

фотографии «головы» методом полной компенсации для установления угла наклона волны AA_2 , а также для измерения других углов с целью сравнения с результатами расчета. Методика этих экспериментов хорошо известна [2]. Для расчета детонации в смеси $\text{CH}_4 + 2\text{O}_2$ привлечены экспериментальные данные из [5].

Результаты расчетов параметров спиновой структуры для пяти различных смесей приведены в табл. 1, где p_0 — начальное давление; D — расчетная скорость детонации Чепмена — Жуге; u_0 — измеренная скорость детонации; u_{00} — полная скорость невозмущенного потока. Обозначения и отсчет углов указаны на рис. 1. В табл. 2 приведено сравнение полученных экспериментальных данных с расчетом.

Ошибки измерений u_{00} не превышали $\pm 4\%$, угла $\varphi_{AA_2} - \pm 2,4^\circ$. Для некоторых смесей дополнительную погрешность вносит нестационарность движения спина, связанная с его неустойчивостью [6]. Траектории движения «головы» спина без изломов наблюдались только для состава $2\text{CO} + \text{O}_2 + 5\% \text{H}_2$. Для остальных смесей величина угла наклона траектории относительно оси трубы, полученная в результате осреднения на длине больше одного периода обращения, отличалась от полученной в результате осреднения на характерном масштабе возмущения траектории не более чем на $+4 \div -8^\circ$. Подобные возмущения, как указывалось в [4, 6], возникают примерно через 0,65 шага спирали и сосредоточены на $25 \div 30\%$ длины периода. Влияние этих погрешностей для всех исследовавшихся смесей было проверено расчетом, в котором варьировались полная скорость невозмущенного потока и угол φ_{AA_2} .

В табл. 3 представлены результаты расчета для смеси $2\text{H}_2 + \text{O}_2$ ($p_0 = 0,06315$ атм, $\alpha = 41^\circ$; $u_0 = 2688$ м/с, $u_{00} = 4249$ м/с); для других составов результаты аналогичны.

Как видно из приведенных таблиц, схема течения для всех исследовавшихся смесей качественно сохраняется, в частности, поперечная волна BC всегда пересекает, течение за ней дозвуковое. В связи с этим следует отметить несостоятельность предлагаемой в [7] схемы спиновой структуры (рис. 2), в которой волна AB отсутствует, а течение за ней и скачком AA_1 согласуется с помощью центрированной волны разрежения. Анализ течения в окрестности тройной точки A показывает, что при углах наклона волны AA_2 , близких к экспериментальным, стационарная нормальная к потоку волна Чепмена — Жуге невозможна. Как показывает расчет с учетом химического равновесия (авторами [7] такой расчет не производился), такая поперечная волна возможна

Таблица 1

Смесь	Скачок	p/p_0	T, K	ρ/ρ_0	M	$u, m/c$	$\phi, град$	$\psi, град$
$2CO + O_2 + 5\% H_2, p_0 = 0,105 \text{ atm}, \alpha = 45^\circ, D = 1760 \text{ m/c}, u_{00} = 2404 \text{ m/c}, u_0 = 1700 \text{ m/c}$	AA_2	16,8	1052	4,77	3,141	2022	33,6	7,9
	AA_1	52,6	3535	4,77	0,467	513	87,6	78,9
	AB	52,6	1437	19,85	2,371	1770	32,5	15,5
	BC	164,2	3713	14,47	0,602	670	92,4	97,3
	BD	164,2	1942	25,05	1,569	1355	45,5	23,8
$2H_2 + O_2, p_0 = 0,0631 \text{ atm}, \alpha = 47^\circ, D = 2688 \text{ m/c}, u_{00} = 3812 \text{ m/c}, u_0 = 2600 \text{ m/c}$	AA_2	12,7	891	4,25	3,708	3398	27,8	7,0
	AA_1	57,7	3581	5,14	0,437	742	89,8	89,0
	AB	57,7	439	11,95	2,544	2930	32,8	12,9
	BC	187,6	3806	16,10	0,521	898	90,5	92,8
	BD	187,6	1996	28,00	1,727	2320	42,4	21,3
$2H_2 + O_2 + 3Ar, p_0 = 0,0526 \text{ atm}, \alpha = 46^\circ, D = 1816 \text{ m/c}, u_{00} = 2231 \text{ m/c}, u_0 = 1550 \text{ m/c}$	AA_2	13,1	1038	3,76	2,691	1875	34,2	10,2
	AA_1	39,1	3276	3,73	0,519	606	87,4	80,3
	AB	39,1	1513	7,70	1,907	1592	37,3	20,4
	BC	90,2	3374	8,49	0,709	831	89,2	88,1
	BD	90,2	1978	13,58	1,310	1242	49,4	33,5
$C_2H_2 + 1,5O_2 + 12,5Ar, p_0 = 0,0592 \text{ atm}, \alpha = 49^\circ, D = 1637 \text{ m/c}, u_{00} = 2133 \text{ m/c}, u_0 = 1400 \text{ m/c}$	AA_2	13,1	1074	3,64	3,206	1884	29,2	8,7
	AA_1	52,5	3725	3,77	0,479	565	89,5	88,0
	AB	52,5	1799	8,70	2,117	1597	35,7	16,7
	BC	137,6	3831	9,72	0,595	705	89,4	87,4
	BD	137,6	2494	16,46	1,416	1257	46,6	29,2
$CH_4 + 2O_2, p_0 = 0,289 \text{ atm}, \alpha = 46^\circ, D = 2335 \text{ m/c}, u_{00} = 3023 \text{ m/c}, u_0 = 2100 \text{ m/c}$	AA_2	31,3	1301	7,16	3,501	2436	36,7	5,9
	AA_1	75,4	3873	4,25	0,544	776	83,9	65,7
	AB	75,3	1518	14,80	3,012	2255	25,6	13,1
	BC	240,6	4054	13,49	0,935	1331	98,8	106,3
	BD	240,6	1868	38,40	2,310	1910	35,2	15,2

лишь при отрицательном (около $1,5^\circ$) угле наклона волны AA_2 к попечному сечению, что противоречит эксперименту.

Табл. 4 иллюстрирует результаты точного расчета течения за волной AA_2 для исходных данных, взятых из [7].

Таблица 2

Смесь	$\beta, град$	$\gamma, град$
$2CO + O_2 + 5\% H_2$	$22,4$ $22,2+2,2$	$47,5$ $45,2+2,4$
$2H_2 + O_2$	$22,2$ $14,2+2,2$	$43,2$ $51,2+2,4$
$2H_2 + O_2 + 3Ar$	$19,2$ $19,5+2,2$	$46,5$ $47,2+3,3$
$2C_2H_2 + 3O_2 + 25Ar$	$19,5$ $17,4+2,2$	$41,5$ $51+2,2$

П р и м е ч а н и е. Верхние значения соответствуют расчету, нижние — эксперименту.

Здесь приведены значения полной скорости потока за фронтом AA_2 и скорости волны Чепмена — Жуге по состоянию за AA_2 . Полная скорость потока за этим скачком больше скорости Чепмена — Жуге, поэтому нормальная к потоку стационарная детонационная волна по состоянию за AA_2 пересжата. Пересжатие по скорости составляет 9—16%, по давлению за волной AC 60 и 100%. Поток за такой волной дозвуковой ($M \approx 0,3$), и,

Таблица 3

Скачок	p/p_0	M	φ , град	ψ , град	Скачок	p/p_0	M	φ , град	ψ , град
AA_2	9,9	4,66	21,8	5,8	BC	248,2	0,43	89,3	86,4
	15,8	3,84	27,8	6,5		264,1	0,46	90,7	93,3
	20,3	3,40	31,8	7,1		261,5	0,48	91,7	97,1
AA_1	74,3	0,39	91,3	98,4	BD	248,2	1,99	38,2	18,2
	74,3	0,39	89,7	88,3		264,1	1,76	42,6	20,2
	74,3	0,39	88,7	82,2		261,5	1,59	46,0	22,5
AB	74,4	2,65	32,0	12,2					
	74,3	2,48	32,0	14,1					

Таблица 4

Смесь	Вариант	M_0	φ	Полная скорость газа за AA_2 , м/с	Скорость человека—жу- же по состоя- нию за AA_2 , м/с	Пересжатие		Число Маха за волной AC
						по ско- рости	по давле- нию	
$2CO + O_2$	AA_1 (уд.)	7,1	37°01'	1950	1691	1,153	1,97	0,30
	AA_1 (дет.)	7,1	36°40'	1958	1692	1,157	1,99	0,30
$C_2H_2 +$ $+ 10\% O_2 +$ $+ 83,3\% Ar$	AA_1 (уд.)	6,7	36°48'	1756	1610	1,091	1,64	0,35
	AA_1 (дет.)	6,7	29°15'	1860	1619	1,149	1,95	0,30

следовательно, центрированная волна разрешения здесь невозможна.

Для согласования течений за пересжатой поперечной волной и фронтом AA_1 необходимо введение второй тройной точки, наличие которой наиболее наглядно подтверждено голограммической съемкой [8].

Поступила в редакцию
24/I 1978

ЛИТЕРАТУРА

- Б. В. Войцеховский, В. В. Митрофанов, М. Е. Топчиян. ПМТФ, 1962, 3.
- Б. В. Войцеховский, В. В. Митрофанов, М. Е. Топчиян. Структура фронта детонации в газах. «Наука», 1963.
- Ю. А. Николаев, М. Е. Топчиян. ФГВ, 1977, 13, 3.
- М. Е. Топчиян. Докт. дис., Институт гидродинамики, Новосибирск, 1974.
- В. И. Манжалей, В. В. Митрофанов. ФГВ, 1973, 9, 5.
- М. Е. Топчиян, В. Ю. Ульяницкий. ФГВ, 1976, 12, 2.
- С. К. Асланов, П. И. Копейка.— В сб.: Горение и взрыв. М., «Наука», 1972.
- В. Е. Гордеев. Докл. АН СССР, 1974, 215, 3.